

Planche 1 :

1) a) `import matplotlib.pyplot as plt`

`import numpy as np`

`from mpl_toolkits.mplot3d import Axes3D`

`import random as rd`

`# Q1.a :`

`# Ancienne version, encore indiquée dans le memento Centrale :`

`#ax = Axes3D(plt.figure(),auto_add_to_figure=False)`

`# Nouvelle version :`

`fig = plt.figure()`

`ax = fig.add_subplot(111, projection='3d')`

`def f (x,y) :`

`return -2*x**2+y**2+3*x*y`

`f=np.vectorize(f)`

`X = np.arange(-2,2,0.02)`

`Y = np.arange(-2,2,0.02)`

`X, Y = np.meshgrid(X, Y)`

`Z = f(X, Y)`

`ax.plot_surface(X, Y, Z)`

`plt.show()`

b) Gradient : $(-2x + 3y, 3x + 2y)$, un seul point critique : $(0, 0)$. La Hessienne est $\begin{pmatrix} -2 & 3 \\ 3 & 2 \end{pmatrix}$, deux valeurs propres réelles de signe opposé, non nulles, donc pas d'extremum.

c) $f(1, y) = -2 + y^2 + 3y$, qui prend avec le TVI toutes les valeurs de -2 à $+\infty$. Et $f(x, 1) = -2x^2 + 1 + 3x$, qui prend toutes les valeurs de $-\infty$ à 1 . Donc f est surjective de \mathbb{R}^2 dans \mathbb{R} .

2) a) Plus que classique, par analyse-synthèse. $M = \frac{M + M^\top}{2} + \frac{M - M^\top}{2}$.

b) `M = np.array([[-2,4],[1,2]])`

`def sym(M) :`

`return (1/2)*(M+np.transpose(M))`

3) a) `M = np.array([[291,332,413],[332,291,508],[291,413,332]])`

`S = sym(M)`

`def fi_M (X) :`

`Y = M.dot(X)`

`return (np.transpose(X)).dot(Y)`

`def fi_S (X) :`

`Y = S.dot(X)`

`return (np.transpose(X)).dot(Y)`

`def test () :`

`A=np.array([[rd.randrange(50)] for j in range(3)])`

```
return (fi_M(A), fi_S(A))
```

b) On conjecture que $\varphi_M = \varphi_S$.

4) Si $M = A + S$ avec A antisymétrique, alors $X^\top AX$ est un réel, donc $X^\top AX = (X^\top AX)^\top = X^\top A^\top X = -X^\top AX$ donc $X^\top AX = 0$. Alors $\varphi_m(X) = \varphi_A(X) + \varphi_S(X) = \varphi_S(X)$.

5) a) $\text{tr } M = \text{tr } A + \text{tr } S = \text{tr } S$ car une matrice antisymétrique a une diagonale nulle.

b) On sait que le spectre est réduit à 0.

c) S n'est pas nulle car M n'est pas antisymétrique.

Elle est diagonalisable dans \mathbb{R} car symétrique réelle, et comme elle est non nulle, elle a une valeur propre λ non nulle.

Soit X est un vecteur propre pour λ , alors $\varphi_S(X) = \lambda \|X\|^2 \neq 0$.

Donc l'image est \mathbb{R} .

Planche 2 :

```
import matplotlib.pyplot as plt
import numpy as np
from mpl_toolkits.mplot3d import Axes3D
import random as rd

# Q1 : les X_n ne prennent p.s. que deux valeurs : 1 et 2, donc S_n div grossièrement.

def X (p) :
    x = rd.random()
    if x < p : return 1
    else : return 2

def Y (k,p) :
    S = 0
    n = 0
    while S < k :
        S += X(p)
        n += 1
    return n

# Q2 :

def esp (k,p) :
    N = 1000
    S = 0
    for n in range(N) :
        S += Y(k,p)
    return S/N

P = [0.1,0.3,0.5,0.7,0.9]

def Q2 () :
    plt.clf()
    X = [i for i in range(1,100)]
    for p in P :
```

```

        Y = [esp(k,p) for k in X]
        plt.plot(X,Y,label="p="+str(p))
    plt.legend()
    plt.savefig("Q2.png")

# Q3 :

#  $P(Y_k=n)=P(Y_k=n|Y(k-1)=n-1) \cdot P(Y(k-1)=n-1) + P(Y_k=n|Y(k-2)=n-1) \cdot P(Y(k-1)=n-2)$ 
#  $+ \text{somme pour } i < k-2 \ P(Y_k=n|Y(k-i)=n-1) \cdot P(Y(k-i)=n-2)$ 
#  $= P(X_k=1) \cdot P(Y(k-1)=n-1) + P(X_k=2) \cdot P(Y(k-2)=n-1) + 0$ 

# Q4 :

#  $E(Y_k) = \text{somme } P(Y_k=n) \cdot n = \text{somme } pP(Y(k-1)=n-1) \cdot n + (1-p)P(Y(k-2)=n-1) \cdot n$ 
#  $= \text{somme } pP(Y(k-1)=n-1) \cdot (n-1) + (1-p)P(Y(k-2)=n-1) \cdot (n-1) + pP(Y(k-1)=n-1)$ 
#  $+ (1-p)P(Y(k-2)=n-1) = pE(Y(k-1)) + (1-p)E(Y(k-2)) + p + (1-p)$ 

# Q5 :

# On remarque que  $(k/(2-p))$  est une suite solution de cette relation de récurrence.
# Équation homogène :  $pX^2 - pX - (1-p)$ , discriminant  $p^2 + 4(1-p) = (2-p)^2$ 
# racines 1 et  $(p-1)$ , solutions de la forme  $a + b(p-1)^n + n/(2-p)$ 
# ce qui est équivalent à  $n/(2-p)$  car  $(p-1) \in ]-1,0[$ .

P2=[0.1,0.5,0.9]

def Q5 () :
    plt.clf()
    X = [i for i in range(1000,2000,100)]
    for p in P2 :
        cp = 1/(2-p)
        Y = [esp(k,p)-k*(cp) for k in X]
        plt.plot(X,Y,label="p="+str(p))
    plt.legend()
    plt.savefig("Q5.png")

```

Planche 3 :

RMS2023 1059. PYTHON .

```

import math

import matplotlib.pyplot as plt

import numpy
import numpy.polynomial as pol

def A(n) :
    U=pol.Polynomial([1])
    if n==0 :
        return(U)

```

```

else :
    B=A(n-1).integ()
    C=B.integ(1,0)
    D=B-C(1)
return(D)

def u(x) :
    return x /(math.exp(x)-1)

def w(x) :
    S=A(0)(0)
    for k in range (1,11) :
        S+=A(k)(0)*x**k
    return S

X=numpy.linspace(-2,2,10)

Y=[u(x) for x in X]

Z=[w(x) for x in X]

plt.plot(X, Y)

plt.plot(X, Z)

plt.show()

```

- 1) On a directement $A_1 = X - \frac{1}{2}$ puis, par intégration et annulation de l'intégrale, $A_2 = \frac{X^2}{2} - \frac{X}{2} + \frac{1}{12}$.
On trouve aussi $A_3 = \frac{X^3}{6} - \frac{X^2}{4} + \frac{X}{12}$.
- 2) Voici un programme qui renvoie A_n en tant qu'objet Python de type Polynomial.

```

import numpy.polynomial as pol
def A(n) :
    U=pol.Polynomial([1])
    if n==0:
        return(U)
    else
        B=A(n-1).integ()
        C=B.integ(1,0)
        D=B-C(1)
        return(D)

```

- 3) On compare $A_n(0)$ et $A_n(1)$ pour les 9 premières valeurs via le programme suivant :

```

for n in range (1,10) :
    print(n, A(n)(0), A(n)(1))

```

Le résultat obtenu suggère la conjecture suivante :

Conjecture 1. On a $A_n(0) = A_n(1)$ pour tout $n \geq 2$.

On peut également composer les polynômes (le code de programmation de composition des polynômes est intuitif) :

```

for n in range (1,10) :

```

```

S=pol.Polynomial([1,-1])
print(n)
print(A(n))
print(A(n)(S))

```

Au signe près, on trouve les mêmes valeurs numériques (non facilement identifiables) pour les coefficients de $A_n(1-X)$ et A_n . La conjecture qui se profile est :

Conjecture 2. On a $A_n(1-X) = (-1)^n A_n$ pour tout $n \in \mathbf{N}$.

4) Passons à la représentation graphique demandée.

Conjecture 3. On a

$$\forall x \in \mathbf{R} \setminus \{0\}, \quad \frac{x}{e^x - 1} = \sum_{k=0}^{+\infty} A_k(0)x^k$$

5) Preuve de la conjecture 1. Soit $n \in \mathbf{N}$ tel que $n \geq 2$. On a tout simplement :

$$A_n(1) - A_n(0) = \int_0^1 A'_n(t) dt = \int_0^1 A_{n-1}(t) dt = 0$$

Preuve de la conjecture 2 par récurrence. La formule est triviale pour $n = 0$. On suppose que l'on a $A_n(1-X) = (-1)^n A_n$ et l'on souhaite montrer la formule $A_{n+1}(1-X) = (-1)^{n+1} A_{n+1}$. Or le polynôme différence $A_{n+1}(1-X) - (-1)^{n+1} A_{n+1}$ est clairement d'intégrale nulle de 0 à 1 (quitte à faire un changement de variable linéaire immédiat sur le terme en $1-X$) et son polynôme dérivé est

$$-A'_{n+1}(1-X) - (-1)^{n+1} A'_{n+1} = -A_n(1-X) - (-1)^{n+1} A_n = 0$$

Ainsi, $A_{n+1}(1-X) - (-1)^{n+1} A_{n+1}$ est forcément le polynôme nul.

Preuve de la conjecture 3. Il y a deux difficultés dans cette conjecture. D'abord, il faut justifier que la série du second membre converge et préciser pour quelles valeurs de x . En l'occurrence, on a peut-être été trop généreux en s'autorisant à choisir x dans \mathbf{R} (privé de $\{0\}$). Il serait déjà satisfaisant d'avoir une information pour x voisin de l'origine.

Justifions que la suite $(A_k(0))$ est bornée. Cela prouvera, d'après la théorie des séries entières, que la série $\sum A_k(0)x^k$ converge pour tout $x \in]-1, 1[$ (le rayon de la série entière est au moins égal à 1). D'après la définition des polynômes A_k , l'inégalité $\sup_{-1 \leq x \leq 1} |A_k(x)| \leq 1$ s'obtient immédiatement par récurrence grâce au lemme suivant :

Lemme 1. Soit $f \in \mathcal{C}^1([0, 1], \mathbf{R})$ vérifiant $\int_0^1 f(x) dx = 0$ et $\|f'\|_\infty \leq 1$. Alors $\|f\|_\infty \leq 1$.

Preuve. Pour tout $x \in [-1, 1]$, on écrit

$$f(x) = (f(x) - f(1/2)) + f(1/2)$$

L'inégalité des accroissements finis donne

$$|f(x) - f(1/2)| \leq |x - 1/2| \times \|f'\|_\infty \leq \frac{1}{2}$$

En intégrant () sur $[0, 1]$ et en exploitant (), on obtient

$$|f(1/2)| = \left| \int_0^1 f(x) - f(1/2) dx \right| \leq \int_0^1 |f(x) - f(1/2)| dx \leq \frac{1}{2}$$

Grâce à () et à (), on conclut que $|f(x)| \leq 1$. \square .

Ensuite, il faut trouver un moyen d'identifier les coefficients de deux côtés ! Il est plus simple de tenter de démontrer la formule suivante :

$$\forall x \in]-1, 1[, \quad x = (e^x - 1) \sum_{k=0}^{+\infty} A_k(0) x^k$$

Remarque. L'étude de l'intervalle maximal sur lequel la série est convergente (c'est-à-dire le calcul exact du rayon de convergence) dépasse largement le cadre du programme des classes préparatoires (il faudrait invoquer un cours d'analyse complexe et l'appliquer à la fonction holomorphe $z \mapsto \frac{z}{e^z - 1}$ sur le disque complexe ouvert de centre 0 et de rayon 2π). D'ailleurs, si on reprend les représentations graphiques précédentes sur un intervalle strictement plus grand que $[-2\pi, 2\pi]$, on constate effectivement une explosion à l'extérieur de cet intervalle :

Revenons à la preuve. Par convergence absolue des séries envisagées, le membre droit se reformule via un produit de Cauchy :

$$\forall x \in]-1, 1[, \left(\sum_{k=1}^{+\infty} \frac{x^k}{k!} \right) \times \left(\sum_{k=0}^{+\infty} A_k(0) x^k \right) = \sum_{n=1}^{+\infty} \left(\sum_{k=1}^n \frac{A_{n-k}(0)}{k!} \right) x^n.$$

Le coefficient d'indice $n = 1$ vaut $A_0(0) = 1$ (d'après la question a)). La formule () sera donc conséquence des identités suivantes :

$$\forall n \geq 2, \quad \sum_{k=1}^n \frac{A_{n-k}(0)}{k!} = 0$$

Cette formule est a priori non évidente mais devient très abordable si l'on invoque le lemme suivant :

Lemme 2. Pour tout polynôme $P \in \mathbb{R}_n[X]$ on a la formule $P(1) = \sum_{k=0}^n \frac{P^{(k)}(0)}{k!}$.

Preuve. Il suffit d'appliquer la formule de Taylor de 0 à 1.

On applique le lemme précédent au polynôme A_n (qui est de degré n et vérifie $A_n^{(k)} = A_{n-k}$ par récurrence immédiate) :

$$A_n(1) = A_n(0) + \sum_{k=1}^n \frac{A_{n-k}(0)}{k!}$$

La conjecture 1 (prouvée ci-dessus) affirme que $A_n(1) = A_n(0)$.

Planche 4 :

```
1) import numpy.linalg as alg
```

```
def M(n) :
    A = n * zeros((n, n))
    for j in range(n) :
        for i in range(n) :
            if i != j :
                A[i, j] = j + 1
    return A
```

```
2) for n in range(2, 11) :
    A = M(n)
    print('n = ', n)
    print(A)
    print(alg.eigvals(A))
```

Conjecture : A possède n valeurs propres distinctes, une strictement positive et les autres strictement négatives.

- 3) On prouve plus précisément que $\lambda \in \text{Sp}(A) \iff \sum_{k=1}^n \frac{k}{\lambda+k} = 1$.

Un réel λ est valeur propre de A si et seulement si le système linéaire $(\mathcal{S}_\lambda) : AX = \lambda X$ possède une solution non nulle. Or

$$(\mathcal{S}_\lambda) \iff \forall k \in \{1, \dots, n\}, \quad \sum_{i=1, i \neq k}^n ix_i = \lambda x_k \iff \forall k \in \{1, \dots, n\}, \quad \sum_{i=1}^n ix_i = (\lambda + k)x_k.$$

Montrons tout d'abord que si $\lambda = -j$ pour un certain j de $\{1, \dots, n\}$ alors λ n'est pas valeur propre. En effet si X est solution du système (\mathcal{S}_λ) , alors l'équation (L_j) donne $\sum_{i=1}^n ix_i = 0$ et, pour $k \neq j$, l'équation (L_k) donne ensuite $0 = (-j + k)x_k$, soit $x_k = 0$, pour tout $k \neq j$ mais $\sum_{i=1}^n ix_i = 0$ donne aussi $x_j = 0$ puis $X = 0$.

Reprenons alors l'étude de (\mathcal{S}_λ) pour un réel $\lambda \notin \{-1, -2, \dots, -n\}$.

- Supposons que λ est valeur propre et que X est une solution non nulle de (\mathcal{S}_λ) . Posons $s = \sum_{i=1}^n ix_i$. Il vient

$$\forall k \in \{1, \dots, n\}, \quad x_k = \frac{s}{\lambda + k},$$

donc $s \neq 0$ (sinon $X = 0$) puis $s = \sum_{k=1}^n kx_k = \sum_{k=1}^n \frac{ks}{\lambda+k}$ et en simplifiant par s , on obtient $1 = \sum_{k=1}^n \frac{k}{\lambda+k}$.

- Réciproquement soit λ un réel tel que $\sum_{k=1}^n \frac{k}{\lambda+k} = 1$. Le vecteur $X = (\frac{1}{\lambda+1}, \frac{2}{\lambda+2}, \dots, \frac{n}{\lambda+n})^\top$ vérifie

$$\sum_{i=1}^n ix_i = \sum_{i=1}^n \frac{i}{\lambda+i} = 1 = (\lambda + k)x_k$$

pour tout $k \in \{1, \dots, n\}$, ce qui équivaut au système (\mathcal{S}_λ) et donc $AX = \lambda X$. Comme X est non nul, un tel λ est valeur propre de A .

- 4) La fonction $f: x \mapsto \sum_{k=1}^n \frac{k}{x+k} - 1$ est définie sur $D = \mathbb{R} \setminus \{-n, -n+1, \dots, -2, -1\}$ et pour $k \in \{2, \dots, n\}$ f décroît strictement sur l'intervalle $] -k, -k+1[$ de $+\infty$ à $-\infty$. Par continuité, elle s'y annule une fois et une seule en λ_k . De même sur $] -1, +\infty[$ f décroît strictement de $+\infty$ à -1 . On obtient ainsi n valeurs propres distinctes pour A_n , notées $\lambda_1, \dots, \lambda_n$, vérifiant :

$$-n < \lambda_n < -n+1 < \lambda_{n-1} < -n+2 < \dots < -3 < \lambda_3 < -2 < \lambda_2 < -1 < \lambda_1.$$

La matrice A_n est donc diagonalisable.

Remarque. — Comme $f(0) > 0$ on a en fait $\lambda_1 > 0$. Il semble aussi que λ_1 devienne de plus en plus grand avec n . Confirmons-le : on a $f(n) = \sum_{k=1}^n \frac{k}{n+k} - 1 \geq \frac{1}{2n}(\sum_{k=1}^n k) - 1 = \frac{n+1}{4} - 1 \geq 0$ si $n \geq 3$. On en déduit que $\lambda_1 \geq n$.

Planche 5 :

- 1) def Q1(n) :

```
A = np.zeros((n+1,n+1))
for j in range(1,n+1) :
    A[j-1,j]=j # Attention, on commence à zéro !!
for j in range(n) :
    A[j+1,j]=n-j # Attention, on commence à zéro !!
return A
```

2) def Q2(n) :

A=Q1(n)

return alg.eigvals(A)

Après quelques tests pour différentes valeurs de n , on conjecture que les valeurs propres sont $-n, -n+2, -n+4, \dots, n-2, n$.

3) On le voit sur la base canonique, et $Q = 1 - X^2$.

4) Il faut résoudre $P = P' + nXP$, donc $P(1 - nX) = (1 - X^2)P'$.

En raisonnant sur le terme de plus haut degré : si P vecteur propre, $\deg P = n$.

5) La matrice A_{n+1} est-elle diagonalisable ?

Planche 6 :

```
import matplotlib.pyplot as plt
import numpy as np
from math import log
```

Q1 :

```
def P(n,x) :
```

```
    puiss = 1
```

```
    somme = 1
```

```
    for k in range(2*n) :
```

```
        puiss *= x
```

```
        somme += puiss
```

```
    return somme
```

```
def Q1() :
```

```
    plt.clf()
```

```
    N=100
```

```
    X=[-2+4*k/N for k in range(N+1)]
```

```
    for n in range(1,10) :
```

```
        Y = [P(n,x) for x in X]
```

```
        plt.plot(X,Y,label="n="+str(n))
```

```
    plt.legend()
```

```
    plt.axis([-2, 2, 0, 5])
```

```
    plt.savefig("Q1.png")
```

```
def Q1bis(a,b) :
```

```
    plt.clf()
```

```
    N=100
```

```
    X=[a+(b-a)*k/N for k in range(N+1)]
```

```
    for n in range(1,10) :
```

```
        Y = [P(n,x) for x in X]
```

```
        plt.plot(X,Y,label="n="+str(n))
```

```
    plt.legend()
```

```
    plt.savefig("Q1bis.png")
```

```
# prendre a = -0.9 et b = -0.35 pour bien voir les minima. Un seul par fonction
# sur [-2,2].
```



```

# Q2 : si  $x \neq 1$ ,  $P_n(x) = (1 - x^{2n+1}) / (1 - x)$ , donc
#  $P_n'(x) = (2nx^{2n+1} - (2n+1)x^{2n+1}) / (1-x)^2$ .

# Q3 :  $u_n'(x) = 2n(2n+1)x^{2n-1} * (x-1)$  et  $u_n(0)=1$ ,  $u_n(1)=0$ 
# donc  $u_n$  est négative donc  $P_n$  décroissante sur  $]-\infty, a_n]$  et
# positive donc  $P_n$  croissante sur  $[a_n, +\infty[$ .
# pour un certain  $a_n < 0$ .

# Q4 :  $u_n(-1) = -4n < 0$  donc  $a_n \in ]-1, 0[$ . On fait une dichotomie sur cet
# intervalle.

def u(n,x) :
    puiss = 1
    y = x**2
    for i in range(n) :
        puiss *= y
    return 2*n*x*puiss-(2*n+1)*puiss+1

def dichotomie(n) :
    a = -1
    b = 0
    e = 10**(-4)
    while abs(b-a) > e :
        m = (a+b)/2
        if u(n,m) > 0 : b = m
        else : a = m
    return (a+b)/2

# Q5 :

def Q5() :
    X = [n for n in range(1,501)]
    plt.clf()
    Y = [dichotomie(n) for n in X]
    plt.plot(X,Y)
    plt.savefig("Q5.png")

# On conjecture que cette suite tend vers -1.

# Q6 :

# équivalent simple :  $\ln(n)$ .
# on écrit  $u_n(a_n)=0$ , on passe au log, on a  $2n \ln|a_n| = -\ln(2n+1-2na_n)$ 
# donc  $\ln|a_n|$  équivalent à  $-\ln(n) / 2n$ , qui tend donc vers 0, donc  $|a_n| \rightarrow 1$ 
# or  $a_n < 0$  donc  $a_n \rightarrow -1$ .

# Q7 :

#  $-h_n \sim \ln|a_n| \sim -(\ln n) / 2n$  donc  $h_n \sim (\ln n) / (2n)$ .

```

```
# Q8 :
```

```
def w(n) :
    return dichon+1-log(n)/(2*n)-log(2)/n
```

```
def Q8() :
    X = [n for n in range(1,501)]
    plt.clf()
    Y = []
    somme = 0
    for i in range(1,501) :
        somme += w(i)
        Y.append(somme)
    plt.plot(X,Y)
    plt.savefig("Q8.png")
    return Y
```

Ca semble converger.

Q9 : on reprend $\ln|a_n| = -\ln(2n+1-2na_n)$, on développe, on trouve
$h_n = (\ln n)/2n + (\ln 2)/n + o(h_n^{**2})$ or $h_n^{**2} \sim (\ln n)^{**2} / 4n^{**2}$, dont la
série conv (série de Bertrand classique).

Planche 7 :

- 1) Si $|x| < 1$ est fixé, les trois termes généraux des séries étudiées sont équivalents à des termes généraux de séries géométriques de raison x ou x^2 , donc les trois séries convergent absolument, donc convergent. Si $|x| \geq 1$, la première série est grossièrement divergente, et les deux autres sont soit grossièrement divergentes, soit ne sont même pas définies. En conclusion, les domaines de définition de S_1, S_2, S_3 sont les mêmes et valent $] - 1, 1[$.
- 2) Voici les fonctions utilisées pour cette question et la suivante.

```
def S1(n, x) :
    resultat = 0
    for k in range(1, n + 1) :
        resultat = resultat +log(1 + x**(2*k))
    return(resultat)
```

```
def S2(n, x) :
    resultat = 0
    for k in range(1, n + 1) :
        resultat = resultat +log(1 + x**(2*k - 1))
    return(resultat)
```

```
def S3(n, x) :
    resultat = 0
    for k in range(1, n + 1) :
        resultat = resultat +log(1 - x**(2*k + 1))
    return(resultat)
```

```

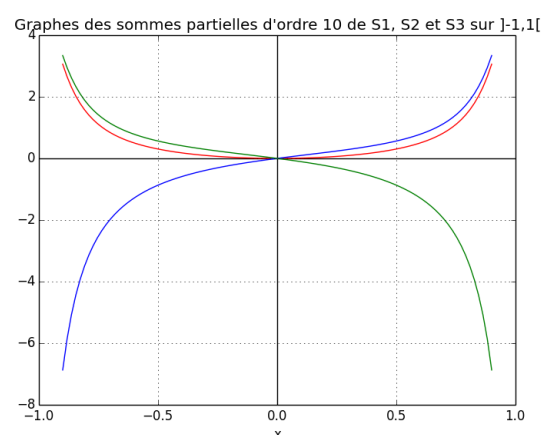
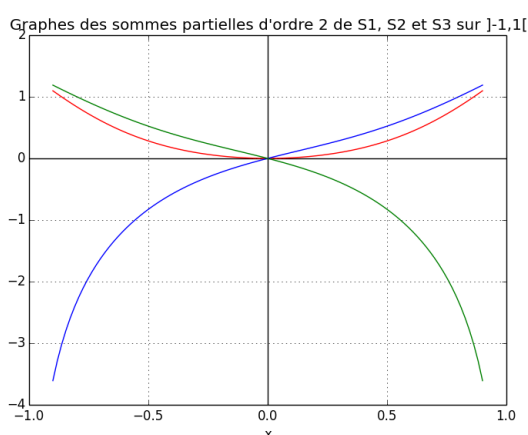
def S(n, x) :
    return(S1(n, x)+S2(n, x)+S3(n, x))

def trace_sommes_partielles(n) :
    x = linspace(-0.9, 0.9, 100)
    y1 = S1(n, x)
    y2 = S2(n, x)
    y3 = S3(n, x)
    grid()
    title("Graphes des sommes partielles d'ordre "+ str(n)+" de S1, S2 et S3 sur ]-1, 1[")
    xlabel("x")
    axhline(color = "black")
    axvline(color = "black")
    plot(x, y1, color = "red")
    plot(x, y2, color = "blue")
    plot(x, y3, color = "green")
    show()

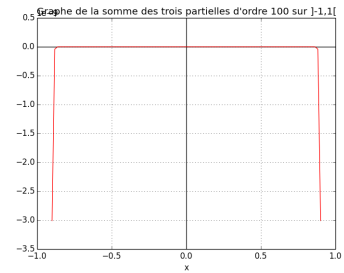
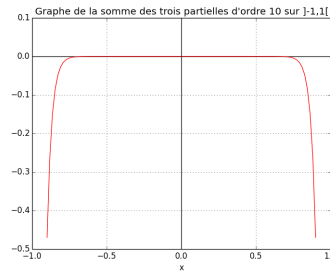
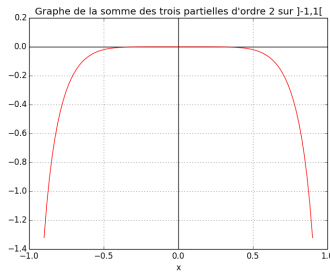
def trace_somme_des_trois_sommes_partielles(n) :
    x = linspace(-0.9, 0.9, 100)
    y = S(n, x)
    grid()
    title("Graphe de la somme des trois partielles d'ordre "+ str(n)+" sur ]-1, 1[")
    xlabel("x")
    axhline(color = "black")
    axvline(color = "black")
    plot(x, y, color = "red")
    show()

```

Voici les graphes des sommes partielles d'ordre 2 et 10, tracés en fait sur l'intervalle $[-\frac{9}{10}, \frac{9}{10}]$:



3) Et voici les graphes de la somme des trois sommes partielles d'ordre 2, 10 et 100 :



On conjecture que $S_1 + S_2 + S_3$ est identiquement nulle sur $] - 1, 1[$.

- 4) On pose $u_n : x \in] - 1, 1[\mapsto \ln(1+x^{2n})$, $v_n : x \in] - 1, 1[\mapsto \ln(1+x^{2n-1})$, $w_n : x \in] - 1, 1[\mapsto \ln(1-x^{2n-1})$. Ces fonctions sont de classe \mathcal{C}^1 avec

$$\forall x \in] - 1, 1[, \quad u'_n(x) = \frac{2nx^{2n-1}}{1+x^{2n}}, \quad v'_n(x) = \frac{(2n-1)x^{2n-2}}{1+x^{2n-1}}, \quad w'_n(x) = -\frac{(2n-1)x^{2n-2}}{1-x^{2n-1}}.$$

Soit $a \in [0, 1[$. La norme uniforme commune aux fonctions $x \mapsto \frac{1}{1+x}$ et $x \mapsto \frac{1}{1-x}$ sur $[-a, a]$ est $K := \frac{1}{1-a}$. Comme $x \in [-a, a]$ implique $\{x^{2n}, x^{2n-1}, -x^{2n-1}\} \subset [-a, a]$, on en déduit que

$$\|u'_n\|_{\infty}^{[-a, a]} \leq 2na^{2n-1}, \quad \|v'_n\|_{\infty}^{[-a, a]} \leq (2n-1)Ka^{2n-2}, \quad \|w'_n\|_{\infty}^{[-a, a]} \leq (2n-1)Ka^{2n-2}.$$

Les théorèmes de croissance comparées montrent alors que les trois séries dérivées $\sum u'_n$, $\sum v'_n$ et $\sum w'_n$ convergent normalement sur $[-a, a]$. Comme la convergence simple des trois séries elles-mêmes sur $] - 1, 1[$ a été prouvée à la question précédente, on déduit du théorème de dérivation que S_1 , S_2 et S_3 sont de classe \mathcal{C}^1 sur $] - 1, 1[$, et que

$$\forall x \in] - 1, 1[, \quad S'_1(x) = \sum_{n=1}^{+\infty} \frac{2nx^{2n-1}}{1+x^{2n}}, \quad S'_2(x) = \sum_{n=1}^{+\infty} \frac{(2n-1)x^{2n-2}}{1+x^{2n-1}}, \quad S'_3(x) = -\sum_{n=1}^{+\infty} \frac{(2n-1)x^{2n-2}}{1-x^{2n-1}}.$$

- 5) On pose $S = S_1 + S_2 + S_3$. Soit $x \in] - 1, 1[$. Dans la somme $S(x)$, on regroupe les termes provenant de $S_2(x)$ et $S_3(x)$, en profitant de ce que $(1-x^{2n-1})(1-x^{2n+1}) = 1-x^{4n-2}$:

$$S(x) = \sum_{n=1}^{+\infty} \ln(1+x^{2n}) + \sum_{n=1}^{+\infty} \ln(1-x^{4n-2}).$$

On sépare ensuite, dans la première somme, les termes d'indice pair de ceux d'indice impair : $\sum_{n=1}^{+\infty} \ln(1+x^{2n}) = \sum_{n=1}^{+\infty} \ln(1+x^{4n}) + \sum_{n=1}^{+\infty} \ln(1+x^{4n-2})$. Cette séparation est légitime car les deux séries qu'on vient d'écrire convergent, et elle permet le regroupement des termes $\ln(1+x^{4n-2})$ et $\ln(1-x^{4n-2})$:

$$S(x) = \sum_{n=1}^{+\infty} \ln(1+x^{4n}) + \sum_{n=1}^{+\infty} \ln(1-x^{8n-4}).$$

On a alors l'idée de démontrer par récurrence sur $p \in \mathbb{N}^*$ que

$$\forall x \in] - 1, 1[, \quad S(x) = \underbrace{\sum_{n=1}^{+\infty} \ln(1+x^{2^p n})}_{u_p(x)} + \underbrace{\sum_{n=1}^{+\infty} \ln(1-x^{2^p(2n-1)})}_{v_p(x)}. \quad (\mathcal{H}_p)$$

Les propriétés (\mathcal{H}_1) et (\mathcal{H}_2) ont été établies plus haut. Si (\mathcal{H}_p) est vraie, alors, en séparant les termes pour n pair de ceux pour n impair dans la première somme, puis en regroupant ces derniers avec ceux de la seconde somme, on obtient :

$$\begin{aligned} \forall x \in] - 1, 1[, \quad S(x) &= \sum_{n=1}^{+\infty} \ln(1+x^{2^{p+1}n}) + \sum_{n=1}^{+\infty} \ln(1+x^{2^p(2n-1)}) + \sum_{n=1}^{+\infty} \ln(1-x^{2^p(2n-1)}) \\ &= \sum_{n=1}^{+\infty} \ln(1+x^{2^{p+1}n}) + \sum_{n=1}^{+\infty} \ln(1-x^{2^{p+1}(2n-1)}) = u_{p+1}(x) + v_{p+1}(x). \end{aligned}$$

C'est bien la propriété (\mathcal{H}_{p+1}) . Il convient de noter que le membre de gauche, $S(x)$, est indépendant de p . On va alors montrer que $S(x) = 0$ en fixant $x \in]-1, 1[$, et en faisant varier p .

Comme l'exposant $2^p n$ est pair, $x^{2^p n}$ est positif, donc on peut lui appliquer l'encadrement $\forall y \in \mathbb{R}_+, 0 \leq \ln(1+y) \leq y$. On obtient alors

$$0 \leq \sum_{n=1}^{+\infty} \ln(1+x^{2^p n}) \leq \sum_{n=1}^{+\infty} x^{2^p n} = \frac{x^{2^p}}{1-x^{2^p}}.$$

Comme le majorant tend vers zéro quand p tend vers $+\infty$, on a déjà prouvé que la suite $(u_p(x))_{p \in \mathbb{N}^*}$ converge vers zéro. On ne dispose pas d'inégalités aussi efficaces pour établir la convergence de la suite $(v_p(x))_{p \in \mathbb{N}^*}$, mais on va se contenter d'appliquer l'équivalent $\ln(1+y) \sim y$ en zéro. On en déduit l'existence de $\varepsilon_0 > 0$ tel que $\forall y \in [-\varepsilon_0, \varepsilon_0], |\ln(1+y)| \leq \frac{3}{2}|y|$. Comme on dispose de la majoration *uniforme en n* suivante

$$\forall n \in \mathbb{N}^*, \quad \left| -x^{2^p(2n-1)} \right| \leq x^{2^p},$$

et comme x^{2^p} tend vers zéro quand p tend vers $+\infty$, il existe $p_0 \in \mathbb{N}^*$ tel que $\forall n \in \mathbb{N}^*, |\ln(1 - x^{2^p(2n-1)})| \leq \frac{3}{2}x^{2^p(2n-1)}$. Par suite,

$$\forall p \geq p_0, \quad |v_p(x)| \leq \frac{3}{2} \sum_{n=1}^{+\infty} x^{2^p(2n-1)} = \frac{3}{2} \frac{x^{2^p}}{1-x^{2^{p+1}}}.$$

Cela prouve que la suite $(v_p(x))_{p \in \mathbb{N}^*}$ converge vers zéro et, finalement, que $S(x) = 0$, pour tout $x \in]-1, 1[$. La conjecture est prouvée. On remarque pour terminer que, comme l'indiquent les graphes de la question **3**), la convergence de $(S_n(x))_{n \in \mathbb{N}^*}$ vers la fonction nulle ne semble pas uniforme sur $] -1, 1[$.

Planche 8 :

```
import matplotlib.pyplot as plt
import numpy as np
import random as rd
import numpy.linalg as lin

# Q1 ;

def position(n) :
    pos=[1]
    for i in range(n-1) :
        if pos[-1] == 1 : pos.append(rd.randint(1,4))
        else : pos.append(pos[-1]-1)
    return pos

def trace_pos() :
    plt.clf()
    N=[10,50,100]
    for n in N :
        X=[k for k in range(n)]
        Y=position(n)
        plt.plot(X,Y,label="n="+str(n))
    plt.legend()
```

```
plt.savefig("position.png")

# Conjecture : plus la valeur est basse, plus souvent elle est atteinte

# Q3.a : A = [[1/4, 1, 0, 0],
#             [1/4, 0, 1, 0],
#             [1/4, 0, 0, 1],
#             [1/4, 0, 0, 0]]
A=np.array([[1/4,1,0,0],[1/4,0,1,0],[1/4,0,0,1],[1/4,0,0,0]])

# Q3.b : c'est une matrice compagnon de polynôme caractéristique
#  $X^4 - 1/4(X^3 + X^2 + X + 1)$ 

poca = np.poly(A)
lin.eigvals(A) # on trouve 4 racines distinctes, dont deux ne sont pas réelles
# donc diagonalisable dans C mais pas dans R.

# Q3.c : ces racines sont : 1, et les autres de module <1
# donc  $A^n$  converge vers  $P((1,0,0,0), (0,0,0,0), (0,0,0,0), (0,0,0,0))P^{-1}$ .
# Donc  $U_n$  converge vers cte * le vecteur propre associé à la vp 1, et la somme
# des coordonnées vaut 1. On résout. On trouve  $1/10(4,3,2,1)$ .

# Q4.a :

def compte(n) :
    a = position(n+1)
    Y = [0, 0, 0, 0]
    for p in a :
        Y[p-1] += 1
    return Y

# Q5.b :

def test() :
    C = []
    for i in range(100) :
        C.append(compte(100))
    return C

# Q5.c :

def esperance() :
    C=test()
    return [(1/101)*sum([C[j][i] for j in range(len(C))]) for i in range(4)]

# ça colle.
```

Planche 9 :

1)

```
>>> def Suite(n, x) :
    y = x
    for i in range(1, n + 1) :
        y = (y**2)/i
    return y
>>> import matplotlib.pyplot as plt
>>> plt.plot([Suite(n, 1.6616) for n in range(32)])
>>> plt.show()
```

2) Python renvoie 0.0 dans le premier cas, 49.02934290985918 dans le second, ce qui montre la sensibilité à de petites perturbations...

3) Supposons (i), soit donc n tel que $u_{n+1} \leq u_n$. Nécessairement $u_{n+1} \geq 0$ donc $u_{n+1}^2 \leq u_n^2$, donc $u_{n+2} = \frac{u_{n+1}^2}{n+2} \leq \frac{u_n^2}{n+2} \leq \frac{u_n^2}{n+1} = u_{n+1}$. Par récurrence, on montre que la suite $(u_k)_{k \geq n}$ est alors décroissante.

En particulier, elle est majorée par son premier terme u_n , et en considérant un entier $k \geq n$ tel que $\frac{u_n^2}{k+1} < 1$, qui existe, on a alors $u_{k+1} = \frac{u_k^2}{k+1} \leq \frac{u_n^2}{k+1} < 1$, d'où (ii).

Supposons (ii) et soit $n \in \mathbb{N}^*$ tel que $u_n < 1$. Alors une récurrence élémentaire montre que $\forall k \geq n$, $0 \leq u_k < 1$ donc $0 \leq u_{k+1} < \frac{1}{k+1}$. Par le théorème d'encadrement, on a donc (iii).

Supposons enfin (iii). La suite est à valeurs positives (à partir du rang 1) et de limite nulle, elle ne peut donc être strictement croissante, d'où (i).

4) Supposons trouvé $N \in \mathbb{N}$ tel que $u_N \geq N + 2$. Soit, pour $n \geq N$, $\mathcal{P}(n)$ la propriété $u_n \geq n + 2$.

— $\mathcal{P}(N)$ est l'hypothèse faite ici.

— Soit $n \geq N$, supposons $\mathcal{P}(n)$. Alors $u_n^2 \geq (n+2)^2$ donc $u_{n+1} \geq \frac{(n+2)^2}{n+1} \geq n+3$, en effet $(n+2)^2 = n^2 + 4n + 4 \geq n^2 + 4n + 3 = (n+1)(n+3)$, soit $\mathcal{P}(n+1)$.

On conclut par récurrence que $\forall n \geq N$, $u_n \geq n + 2$.

5) Pour $x = 1$, on a $u_0 = 1 = u_1$ et $u_2 = \frac{1}{2} \leq u_1$ donc u est de limite nulle, soit $1 \in E_0$.

Pour $x = 2$, on a $u_0 = 2, u_1 = 4 \geq 3$ donc $\forall n \geq 1, u_n \geq n + 2$ donc u est de limite $+\infty$, soit $2 \in E_\infty$.

La question c montre que pour tout x , on a soit $(u_n(x))$ strictement croissante (et positive), soit il existe $n \in \mathbb{N}$ tel que $u_{n+1}(x) \leq u_n(x)$ et alors $(u_n(x))$ est de limite nulle. Dans tous les cas, $(u_n(x))$ admet une limite dans $\mathbb{R}_+ \cup \{+\infty\}$.

Or si $u_n(x) \xrightarrow{n \rightarrow +\infty} \ell \in \mathbb{R}_+$, alors $\frac{u_n(x)^2}{n+1} \xrightarrow{n \rightarrow +\infty} 0$ soit $u_{n+1}(x) \xrightarrow{n \rightarrow +\infty} 0$ donc $\ell = 0$. Donc pour tout $x > 0$, $(u_n(x))$ admet une limite égale à 0 ou à $+\infty$, c'est-à-dire que $\mathbb{R}_+^* = E_0 \cup E_\infty$.

Enfin pour $0 < x \leq y$, on a par une récurrence immédiate $\forall n \in \mathbb{N}, u_n(x) \leq u_n(y)$ donc $\lim_{n \rightarrow +\infty} u_n(x) \leq \lim_{n \rightarrow +\infty} u_n(y)$. Donc si $y \in E_0$ alors $x \in E_0$. Finalement $\forall y \in E_0,]0; y] \subset E_0$. E_0 est donc convexe donc c'est un intervalle.

De même si $x \in E_\infty$ alors $y \in E_\infty$. Finalement $\forall x \in E_\infty, [x; +\infty[\subset E_\infty$. E_∞ est donc convexe donc c'est un intervalle.

Planche 10 :

Planche 11 :

1) On donne une première fonction de test, qui utilise la question 2), et une seconde pour générer une des 2^{n^2} matrices à tester à partir de l'entier correspondant (ordre lexicographique inverse), et la fonction principale...

```

import numpy as n p

def test(M, n) :
    M = n p.transpose(M).dot(M) - n*n p.eye(n)
    for i in range(n) :
        for j in range(n) :
            if M[i, j] != 0 :
                return False
    return True

def matrice(k, n) :
    l = n p.array([1 for i in range(n**2)])
    for i in range(n**2) :
        if k%2 == 1 :
            l[i] = -1
        k = k//2
    return l.reshape(n, n)

def denombre(n) :
    compteur = 0
    for k in range(2**(n**2)) :
        M = matrice(k, n)
        if test(M, n) :
            compteur += 1
    return compteur

```

- 2) Soit $A \in \mathcal{M}_n(\mathbb{R})$ dont les coefficients appartiennent tous à $\{-1, 1\}$. Si A vérifie \mathcal{H}_n , ses colonnes C_1, \dots, C_n sont de norme \sqrt{n} , orthogonales deux à deux, donc la famille $(\frac{1}{\sqrt{n}}C_1, \dots, \frac{1}{\sqrt{n}}C_n)$ est orthonormée, si bien que $\frac{1}{\sqrt{n}}A$ est orthogonale.

Réciproquement si $\frac{1}{\sqrt{n}}A$ est orthogonale, alors la famille $(\frac{1}{\sqrt{n}}C_1, \dots, \frac{1}{\sqrt{n}}C_n)$ est orthonormée donc (C_1, \dots, C_n) est orthogonale, c'est-à-dire que A vérifie \mathcal{H}_n .

- 3) Les 8 matrices vérifiant \mathcal{H}_2 sont exactement les 4 matrices dont trois coefficients valent 1 et le dernier -1 , et les 4 matrices dont trois coefficients valent -1 et le dernier 1. En divisant par $\sqrt{2}$, on obtient 8 matrices orthogonales dont 4 sont symétriques et correspondent à des matrices de symétries orthogonales, et les 4 autres correspondent à des matrices de rotation d'angles respectifs $\pm\frac{\pi}{4}$ et $\pm\frac{3\pi}{4}$. Les endomorphismes associés à nos 8 matrices sont donc les composées commutatives de ces symétries ou rotations avec l'homothétie de rapport $\sqrt{2}$, soit des similitudes (directes ou indirectes) du plan.
- 4) Il suffit de noter que les coefficients de A^\top restent dans $\{-1, 1\}$ et que $\frac{1}{\sqrt{n}}A$ est orthogonale si et seulement si $\frac{1}{\sqrt{n}}A^\top$ l'est.
- 5) Changer les signes sur la colonne j revient à changer C_j en $-C_j$, et préserve bien sûr le caractère orthogonal de la famille des colonnes.
Et changer les signes sur la ligne i correspond à changer les signes sur la colonne i de A^\top , ce qui préserve la propriété \mathcal{H}_n pour A^\top donc pour A .
- 6) Il suffit de tester en plus la première ligne et la première colonne... On obtient 6 matrices, pas si compliquées à trouver à la main...

```

def testbis(M, n) :
    N = n p.transpose(M).dot(M) - n*n p.eye(n)

```



```
for k in range(n) :
    if M[k, 0] != 1 or M[0, k] != 1 :
        return False
for i in range(n) :
    for j in range(n) :
        if N[i, j] != 0 :
            return False
return True

def denombrebis() :
    n = 4
    compteur = 0
    for k in range(2**(n**2)) :
        M = matrice(k, n)
        if testbis(M, n) :
            compteur += 1
    return compteur
```